

شناسایی تنوع سوماکلونال با استفاده از نشانگرهای پراکسیداز و میکروستلایت *Eucalyptus microtheca* F. Muell در

مرتضی شبانزاده ممقانی^{*}، محمدحسن عصاره^۱، منصور امیدی^۲، محمد متینیزاده^۳، مسیح فروتن^۴
عباس قمری زارع^۵، شکوفه شهرزاد^۶ و مریم جبلی^۷

- ۱*-نویسنده مسئول مکاتبات، کارشناس دانشکده کشاورزی و منابع طبیعی - گروه اصلاح نباتات، دانشگاه آزاد اسلامی، واحد کرج- صدوق پستی ۳۱۴۸۵-۳۱۳
پست الکترونیک: shabannejad.morteza@gmail.com
- ۲- استاد پژوهش، مؤسسه تحقیقات جنگل‌ها و مراتع کشور، تهران
- ۳- استاد پردازی کشاورزی و منابع طبیعی دانشگاه تهران، کرج
- ۴- استادیار پژوهش، مؤسسه تحقیقات جنگل‌ها و مراتع کشور، تهران
- ۵- مریبی پژوهش، مؤسسه تحقیقات جنگل‌ها و مراتع کشور، تهران
- ۶- استادیار پژوهش، مؤسسه تحقیقات جنگل‌ها و مراتع کشور، تهران
- ۷- کارشناس، مؤسسه تحقیقات جنگل‌ها و مراتع کشور، تهران
- ۸- کارشناس ارشد، مؤسسه تحقیقات جنگل‌ها و مراتع کشور، تهران

تاریخ پذیرش: ۱۳۸۸/۳/۱۲

تاریخ دریافت: ۱۳۸۷/۲/۳

چکیده

هدف از این پژوهش ایجاد تنوع سوماکلون در کشت درون شیشه *Eucalyptus microtheca* بود. برای این منظور ریزنمونه‌های سرشارخه‌های سبز نهال یک‌ساله *E. microtheca* در محیط MS (با نیمی از مقادیر NH_4NO_3 و KNO_3) همراه با سطوح متفاوت هورمون‌های NAA (α-Naphthalene Acetic Acid) و TDZ (Thidiazuron) (Kinectin Kin) به عنوان نشانگر بیوشیمیایی، الگوی باندهای پراکسیداز به روشن PAGE در گیاهچه‌های بازیابی شده، بررسی شد تا تأثیر مقادیر متفاوت هورمون TDZ بر روی مکان‌های ژنی بیان‌کننده این آنزیم مشخص شود. به طوری‌که یک مکان ژنی دیمر، یک مکان ژنی تترامر و دو باند ابی‌ژنیک وجود داشت و تغییرات ژنوم گیاهچه‌های سوماکلون با استفاده از نشانگر مولکولی SSR ارزیابی گردید. دو پرایمر استفاده شده نشان دهنده وجود چند شکلی بودند. تجزیه و تحلیل‌های آماری ناپارامتری وجود اثر معنی‌دار توالی‌های ساده تکرار شونده بر آلل‌های پراکسیداز را تأیید نمود. بنا به نتایج پایداری مکان ژنی دیمر در مقادیر مختلف TDZ کمتر از مکان ژنی تترامر بود، همچنین همبستگی بیشتری میان آلل‌های مکان ژنی تترامر و توالی‌های ساده تکرار شونده وجود داشت.

واژه‌های کلیدی: کشت بافت، تنوع سوماکلونال، پراکسیداز، توالی‌های ساده تکرار شونده

مقدمه
شرایط اکولوژیکی این مناطق سازگار شده است

(Mortazavi-Jahromi, 1994). این گونه از لحاظ شکل ظاهری مطلوب نیست اما با آزمایش هیبریدهای جدید و

گونه‌های وارداتی به استان‌های جنوبی ایران است که در

همچنین از این آنژیم به عنوان نشانگر برای انواع مقاومت‌ها نام برد شده است که در هنگام ایجاد تنش فعالیت بیشتری دارد (Ezaki *et al.*, 1996).

چندشکلی در توالی‌های ساده تکرار شونده بر روی ایزوآنژیم‌ها مؤثر است (Kinoshita & Ishikawa, 2003). در واکنش به تنش‌های وارد شده به توالی ژنتیکی پروموتر پراکسیداز در گیاه تنباق‌کرو، فیتوهورمون ABA نحوه بیان این پروموتر را تنظیم می‌نماید (Klotz & Lagrimini, 1997). مقایسه نشانگرهای مولکولی توسط Liu و Rus-Kortekaas (1993) و همکاران (1994) Furnier و همکاران (1997) وجود همبستگی میان نشانگرهای آنژیمی و مولکولی را به اثبات رسانده است. همبستگی نشانگر مولکولی SSR با دیگر نشانگرهای مولکولی بر روی گیاهان سویا و جو مقایسه شده است (Saghai-Maroof *et al.*, 1996 و Powell *et al.*, 1996) همچنین همبستگی ایزوآنژیم‌ها و نشانگر مولکولی SSR در گیاه تریتیکاله مورد بررسی قرار گرفته است (Sun *et al.*, 1998). ضریب $r=0.80$ میان باندهای میکروستلايت و RAPD با استفاده از رتبه‌بندی Spearman، توسط Sun و همکاران (1997) گزارش گردیده است. با استفاده از آزمون Mental نیز همبستگی میکروستلايت‌ها و ایزوآنژیم‌ها در گیاه تریتیکاله ۰/۱۶۴ بود (Sun *et al.*, 1997). البته Shah و همکاران (1999) و Byrne و همکاران (1996) از آزمون Chi-square برای تعیین اثر معنی‌دار مکان‌های ژئی استفاده نموده‌اند.

در این پژوهش با استفاده از سطوح متفاوت هورمون TDZ، گیاهچه‌های باززایی شده از کالوس‌های E. microtheca بدست آمده و سپس تغییرات آنژیم پراکسیداز و توالی‌های ساده تکرار شونده و همبستگی آنها

انتخاب پایه‌های برتر، قابل اصلاح است (Assareh and Sardabi, 2007). حفظ ژنتیک‌های برتر در این گونه به علت دگرگشتن بودن آن بسیار دشوار می‌باشد. از آنجا که کشت بافت، تکثیر از طریق امکان شناخت و کتلر عوامل مؤثر در تمایز زدایی، باززایی و تکثیر انبوه را فراهم می‌سازد، می‌تواند ابزاری مناسب برای حذف عوامل محیطی و یکسان‌سازی مواد گیاهی باشد (Morabito *et al.*, 1996 و Herve *et al.*, 2001) E. gunnii غیرمستقیم در (Sankara Rao, 1988) E. tereticornis باززایی مستقیم در Watt (Pinto *et al.*, 2002) E. globulus (et al., 1999) مثال‌هایی از پژوهش‌های انجام شده بر روی اکالیپتوس‌ها می‌باشند. پراکسیداز متأثر از شرایط محیطی، ژنتیک و اثر متقابله این دو می‌باشد. در این بررسی‌ها درون شیشه، کلیه عوامل محیطی و ژنتیکی حذف و تغییرات متأثر از سطوح مختلف هورمون‌ها مطالعه شد.

از پراکسیداز به عنوان نشانگری برای شناسایی اندام‌زایی و جنین‌زایی نام برد شده است (Preetha *et al.*, 1995). از طرفی تغییر معنی‌دار فعالیت پراکسیداز و کاتالاز به عنوان نشانگر در هنگام باززایی مستقیم صنوبر توسط هورمون TDZ تأیید شده است (Tang & Newton, 2005). مقدار فعالیت پراکسیداز در مراحل پریکوتیلدون و کوتیلدون اندک برآورده شده که متناظر با مراحل تشکیل جنین جنسی می‌باشد (Kormutak *et al.*, 2003). افزایش فعالیت پراکسیداز در هنگام کالزالزایی و در کالوس‌های جنین‌زایی کاهو مشاهده شده است (Xiaoli *et al.*, 1992). از نقش‌های مهم این آنژیم می‌توان به نقش آن در تولید دیواره سلولی، اتصال عرضی پلی‌ساقاریدها و لیگنین‌سازی اشاره کرد (Fry *et al.*, 1979; Castillo *et al.*, 1986 و Preetha *et al.*, 1995).

ساعت روشنایی (۲۷ درجه سانتی گراد) و ۸ ساعت تاریکی (۱۹ درجه سانتی گراد) از آنها نگهداری شد. پس از این مدت از برگ‌های گیاهچه‌های سوماکلون برای مطالعات بعدی نمونه‌گیری گردید.

استخراج عصاره و الکتروفورز ژل پلی اکریلامید به روش SDS-PAGE با استفاده از روش Stich و Ebermann (1982) برای ۲۷ گیاهچه سوماکلون انجام شد. ۰/۱ گرم برگ تازه در ۰/۳ میلی‌لیتر محلول استخراج (pH=۷/۵) هموژنیزه گردید و به مدت ۴۸ ساعت در ۴ درجه سانتی گراد نگهداری شد. نمونه‌ها با ۱۲۰۰۰ دور در دقیقه به مدت ۱۵ دقیقه در ۴ درجه سانتی گراد سانتریفیوژ گردیدند. محلول رویی برای الکتروفورز استفاده شد. الکتروفورز با استفاده از ژل جداکننده ۱۲٪ (۱۲۰ گرم در لیتر آکریلامید، ۲ گرم در لیتر بیس آکریلامید و ۴۵/۶ گرم در لیتر تریس) با pH=۸/۳ که توسط اسیدسیتریک تنظیم شده بود همراه با ژل جمع کننده ۰/۵٪ (۵۰ گرم در لیتر آکریلامید، ۸/۳۳ گرم در لیتر بیس آکریلامید، ۱۵ گرم در لیتر تریس و ۸/۴۱ گرم در لیتر اسید سیتریک) و بافر الکترولیت (۷/۲ گرم در لیتر گلایسین و ۱/۵ گرم در لیتر تریس) با شدت جریان ۳۰۰ ولت و ۱۰۰ ملی‌آمپر به مدت ۴ ساعت بارگذاری گردید. برای سفت شدن هر دو ژل از ۱ میلی‌لیتر محلول آمونیوم پروکسودی سولفات (۱/۴ گرم در لیتر) و تمد استفاده شد. از هر نمونه به میزان ۵۰ میکرولیتر به درون هر چاهک تزریق شد. به منظور رنگ‌آمیزی از ۱۸۰۰ میکرولیتر محلول کاربازول (۰/۰۴ گرم کاربازول، ۱۲۰۰ میکرولیتر اتانول مطلق و ۶۰۰ میکرولیتر اسید استیک) همراه با ۷۵۰ میکرولیتر H₂O₂٪ ۳ و ۱۰۰ میلی‌لیتر استات سدیم (۵۰ میلی مولار، pH=۴/۵) به مدت ۳۰ دقیقه استفاده شد. پس از این مدت ژل توسط آب‌مقطّر شسته شده، عکس و زیموگرام از آن تهیه شد.

مورد ارزیابی قرار گرفت تا نحوه تأثیر این مکان‌های ژئوگرافیکی بر روی بیان آنزیم پراکسیداز مشخص گردد.

مواد و روشها

در اردیبهشت ماه سال ۱۳۸۶ سرشاخه‌های سبز فاقد بافت چوبی *Eucalyptus microtheca* F. Muell از یک گیاه حاصل از بذر که به مدت یک‌سال در گلخانه نگهداری شده بود، به عنوان ریزنمونه جدا شدند (بذر مورد استفاده در این آزمایش از پایه‌های کاشته شده در دهنو ممسنی در استان فارس با طول جغرافیایی ۵۱ درجه و ۳۱ دقیقه شرقی، عرض جغرافیایی ۳۰ درجه و ۸ دقیقه شمالی و ارتفاع ۱۱۴۰ متر از سطح دریا جمع‌آوری گردیده بود). ریزنمونه‌ها برای ضدغوفونی سطحی، درون آب دارای چند قطره تویین به مدت ۱۵ دقیقه قرار گرفتند. سپس با آب‌مقطّر شستشو شدند و توسط کلرومکوریک ۰/۰۱٪ به مدت ۳۰ ثانیه تیمار گردیدند. ریزنمونه‌ها در نهایت سه مرتبه توسط آب دوبار تقطیر (هربار به مدت ۵ دقیقه و در زیر هود) شستشو شدند. برای بازیابی از KNO₃ و NH₄NO₃ با نیمی از مقادیر MS (Murashige & Skoog, 1962) استفاده شد (Zare و همکاران ۲۰۰۶). مطابق جدول ۱، پنج تیمار متفاوت هورمونی به محیط‌ها اضافه گردید (جهت تعیین بهترین مقدار NAA و Kin از نتایج پژوهش Shabannejad و همکاران ۲۰۰۸) و برای بهترین مقادیر هورمون TDZ از نتایج پژوهش Ghamari-Zare و همکاران (2006) استفاده گردید. محیط کشت با pH ۵/۷±۰/۱ برای ۲۰ دقیقه در ۱۲۰ درجه سانتی گراد اتوکلاو گردید. ریزنمونه‌ها پس از ضدغوفونی سطحی به طول ۱/۵ سانتی‌متر بریده شدند و درون محیط‌های کشت قرار گرفتند. از هر تیمار ۷ تکرار و در هر تکرار ۶ ریزنمونه کشت شد. به مدت ۴ هفته در دوره نوری ۱۶

به نشانگرهای مولکولی از اعداد ۱ (وجود باند) و ۰ (عدم مشاهده باند) استفاده شد. در تمامی برآوردهای آماری تنها ۲۷ گیاهچه‌ای که به‌وسیله هر دو نشانگر مورد بررسی قرار گرفته بودند، تجزیه و تحلیل شدند. از آزمون χ^2 برای شناسایی اثر معنی‌دار نشانگر مولکولی SSR بر روی آلل‌های پراکسیداز استفاده شد (Shah *et al.*, 1999) و آلل‌های پراکسیداز (Byrne *et al.*, 1996)، همچنین ضریب رتبه‌بندی میان باندهای این دو، توسط نرم‌افزار JMP از روش ناپارامتری (Lanner-Herrera *et al.*, 1996) Spearman بدست آمد (جهت بدست آوردن ضریب همبستگی میان دو نشانگر پراکسیداز و SSR با استفاده از نرم‌افزار NTSYS ابتدا دو ماتریس ضریب‌های تشابه Jaccard برآورد شد و بعد با استفاده از آزمون Mental (1967) این همبستگی محاسبه گردید (Sun *et al.*, 1998). همچنین با استفاده از ماتریس ضریب‌های تشابه Jaccard تجزیه خوش‌های به روش UPGMA در نرم‌افزار NTSYS انجام شد.

استخراج DNA به روش Doyle و Doyle (1987) برای ۳۳ گیاهچه سوماکلون انجام شد. آزمون PCR توسط آغازگرهای EMBRA06 (Brondani *et al.*, 1998) و EMCRC09 (Steane *et al.*, 2001) انجام شد (جدول ۲). اجزاء تشکیل‌دهنده مطابق جدول ۳ برای یک واکنش ۲۵ میکرولیتری استفاده گردید. برای انجام مراحل واکنش از روش Byrne و همکاران (1996) استفاده گردید. جهت مشاهده باندها از ژل آکارز ۱/۷٪ و رنگ‌آمیزی توسط اتیدیوم بروماید استفاده شد. شناسایی چند شکلی با استفاده از ژل واسرشته پلی آکریلامید ۶٪ با رنگ‌آمیزی نیترات نقره انجام گرفت.

داده‌های به‌دست آمده از باززایی تیمارهای متفاوت با استفاده از فرمول $(Y+0/5)^{1/2}$ نرمال شد. سپس به‌وسیله روش GLM در نرم‌افزار SAS تجزیه و تحلیل گردید. برای وضوح بیشتر باندهای پراکسیداز، با استفاده از نرم‌افزار Excel زیموگرام رسم گردید. به‌منظور نمره‌دهی

جدول ۱- تیمارهای هورمونی استفاده شده جهت باززایی در گیاه *E.microtheca*

تیمارها	هورمون	متوسط تعداد باززایی (%)
B _۱	TDZ ۰/۰ (mg l ⁻¹) + Kin ۱/۰ (mg l ⁻¹) + NAA ۱/۰ (mg l ⁻¹)	۶
B _۲	TDZ ۰/۰ ۱ (mg l ⁻¹) + Kin ۰/۵ (mg l ⁻¹) + NAA ۴/۰ (mg l ⁻¹)	۲۰
B _۳	TDZ ۰/۱ (mg l ⁻¹) + Kin ۰/۵ (mg l ⁻¹) + NAA ۴/۰ (mg l ⁻¹)	۵۲
B _۴	TDZ ۰/۵ (mg l ⁻¹) + Kin ۱/۰ (mg l ⁻¹) + NAA ۱/۰ (mg l ⁻¹)	۱۹
B _۵	TDZ ۱/۰ (mg l ⁻¹) + Kin ۱/۰ (mg l ⁻¹) + NAA ۱/۰ (mg l ⁻¹)	۳

جدول ۲- آغازگر SSR استفاده شده (Fwd: Forward, Rev: Reverse)

نام آغازگر	تعداد ال	تعداد تکرار ال	محدوده اندازه الها	منابع
EMBRA06-Fwd	AG	۱۹	۱۲۰-۱۷۰	Brondani <i>et al.</i> , 1998
EMBRA06-Rev	TG	۱۴	۲۸۶-۳۴۲	Steane <i>et al.</i> , 2001
EMCRC 09-Fwd				
EMCRC 09-Rev				

اطلاعات مندرج در جدول فوق از منابع نقل قول شده است.

جدول ۳- مواد تشکیل دهنده یک واکنش PCR

مقدار بهینه شده برای یک واکنش PCR	غلظت استفاده شده	اجزاء واکنش
۲ μ l	۵۰ ng/ μ l	DNA
۲/۷۵ μ l	۵۰۰ mM KCl, ۲۰۰ mM AMS	Buffer PCR
۲ μ l	۱۵ mM	MgCl ₂
۲ μ l	۲ u/ μ l	Taq DNA Polymerase
۲/۵ μ l	۰/۱ mM	dNTP Mix
۲ μ l	۰/۴ μ M	F. primer
۲ μ l	۰/۴ μ M	R. primer
۹/۷۵ μ l	به مقدار کافی	sH ₂ O
۲۵ μ l		مجموع

تا ۹) (شکل A-۲). در گیاهچه های حاصل از کشت بافت دو باند جدید دیده شد. باند نخست که فعالیت بسیار کمی داشت، با استفاده از هورمون های NAA و Kin در تمامی نمونه ها (۱۰۰٪) در منطقه مولکول های سبک ظاهر شد (باند ۱۰). هنگامی که از مقادیر مختلف هورمون TDZ جهت تکمیل محیط کشت استفاده گردید، ۲۱ گیاهچه از ۲۴ نمونه باز زایی شده، باند جدید دیگری در محدوده مولکول های سنگین داشتند (باند ۱). در تیمار ۱ همه مولکول های آلل های سنگین داشتند (شکل ۲-۱). در تیمار ۲ کالوز های سوماتیکی دیده شد (شکل ۲-۲). ولی در تیمارهای B_۱ و B_۲ آلل ۳ داشتند (شکل ۲-۳). کاسته شد (شکل ۲-۴). در تیمارهای B_۳ و B_۴ همه آلل های حضور داشتند و فعالیت مکان ثنی تترامر به شدت افزایش یافته بود، در حالی که در ۵۰٪ دیگر از فعالیت مکان ثنی دیمر به شدت کاسته شده بود (شکل ۲-۵) و D (E). آلل های پراکسیداز در گیاهچه های حاصل از باز زایی توسط تیمار B رفتارهایی مثل B_۱ از خود نشان دادند (شکل ۲-۶).

نتایج

پس از گذشت ۴ هفته، ریزنمونه ها در تیمار B_۱ به صورت مستقیم باز زایی شدند (شکل ۱-۱). با اضافه شدن هورمون TDZ به NAA و Kin، مقدار باز زایی از ۶٪ در تیمار B_۱ به ۲۰٪ در تیمار B_۲ رسید. بیشترین باز زایی در تیمار B_۳ به مقدار ۵۲٪ وجود داشت. به طوری که در این تیمار، باز زایی به صورت جنین زایی سوماتیکی دیده می شد (شکل ۱-۲). در تیمار B_۴ کالوز هایی به شدت افزایش یافته و باز زایی غیر مستقیم به بیشترین مقدار رسید، در حالی که باز زایی به صورت جنین زایی سوماتیکی کاهش یافت. باز زایی در تیمار B_۴ ۱۹٪ بود (شکل ۱-۳). با استفاده از تیمار B_۱، کالوز های متراکم و سخت شدند که در نتیجه آن باز زایی غیر مستقیم به ۳٪ تنزل یافت. پس از تمايز زدایی، همه گیاهچه ها ظاهر طبیعی داشتند. بدین ترتیب تعداد ۲۷ گیاهچه سوماکلون به همراه گیاه مادر مورد ارزیابی کیفی قرار گرفتند (زیموگرام های ۱ و ۲). برای گیاه شاهد یک مجموعه ۳ آللی دیمر و یک مجموعه ۵ آللی تترامر وجود داشت (آلل های ۲ تا ۴ و ۵

ولی بیشترین تأثیر بر روی آلل PDB3 به وسیله آغازگر EMBRA06 و آلل های PTB4 و PTB5 به وسیله آغازگر EMCRC09 بوده است (جدول ۴). ضریب رتبه‌بندی Spearman بیشترین مقدار ضریب را به آغازگر EMBRA06 همراه با آلل PDB3 اختصاص داد (جدول ۵). همچنین آزمون Mental ضریب همبستگی دو ماتریس تشابه پراکسیداز و توالی‌های ساده تکرار شونده را ۰/۱۸ محاسبه نمود. تجزیه خوش‌های به روش UPGMA به نحوی با خط برش تقسیم‌بندی شد که ژنوتیپ‌ها در ۴ خوش‌ه قرار گرفتند. این خوش‌های مؤید این می‌باشند که گیاه‌چهای ۱۴ و ۲۳ هر کدام به عنوان یک خوش، نمونه‌های ۲۰ و ۳۳ در خوش‌ه دیگر و سایر نمونه‌ها به همراه ژنوتیپ گیاه مادری در خوش‌ه چهارم قرار گرفته‌اند (شکل ۷).

نتایج حاصل از مارکر مولکولی SSR

آغازگر EMBRA06 بر روی ژل آگارز یک باند بسیار شفاف در حدود ۱۵۰ جفت بازی با تکرار پذیری بسیار بالا به وجود آورد (شکل ۳). آغازگر EMCRC09، در حدود ۲۵۰ جفت بازی باند شفاف دیگری را نشان داد (شکل ۴). پس از بارگذاری آغازگر EMBRA06 بر روی ژل و اسرشته پلی اکریلامید تنها گیاه‌چه شماره ۲۳ فاقد باند بود (شکل ۵). وجود چند شکلی برای گیاه‌چهای ۱۴ و ۲۹ توسط آغازگر EMCRC09 بر روی ژل و اسرشته پلی اکریلامید آشکار شد (شکل ۶)؛ این باند در حدود ۲۸۰ جفت بازی بود.

نتایج حاصل از تجزیه و تحلیل‌های آماری

آزمون χ^2 نشان داد که توالی‌های SSR بر روی دو باند اپی‌ژنتیک پراکسیداز اثر معنی‌داری نداشتند (جدول ۴)،

جدول ۴- نتایج حاصل از آزمون χ^2 برای باندهای پراکسیداز

EMBRA06		EMCRC09	
Probability	Df	Probability	Df
۰/۸۴۴۷ ^{n.s}	۱	۰/۸۴۴۶ ^{n.s}	۱
۰/۸۴۴۷ ^{n.s}	۱	۰/۰۰۰۱**	۱
۰/۸۴۴۶ ^{n.s}	۱	۰/۰۰۰۱**	۱
-	-	-	-
۰/۰۱۲۶*	۱	۰/۰۱۲۶*	۱
۰/۰۷۷۸ ^{n.s}	۱	۰/۰۷۷۸ ^{n.s}	۱
۰/۰۰۳۳**	۱	۰/۷۷۴۲ ^{n.s}	۱
۰/۳۷۷۸ ^{n.s}	۱	۰/۳۷۷۸ ^{n.s}	۱
۰/۰۷۷۸ ^{n.s}	۱	۰/۵۵۶۶ ^{n.s}	۱
۰/۵۵۶۶ ^{n.s}	۱	۰/۵۵۶۶ ^{n.s}	۱

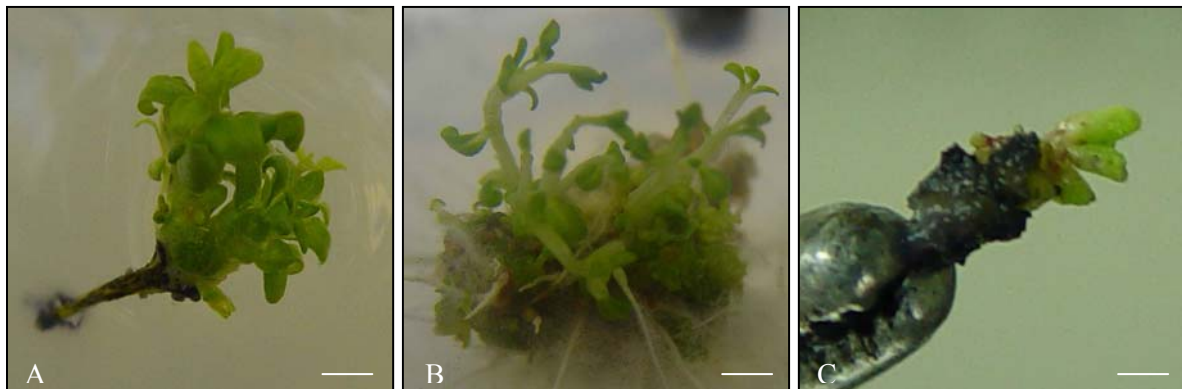
.Band :B .Epigenetic :E .Tetramer :T .Dimer :D .Peroxidase :P

* معنی دار در سطح ۰/۵، ** معنی دار در سطح ۰/۱ و n.s عدم وجود اختلاف معنی دار می‌باشد.

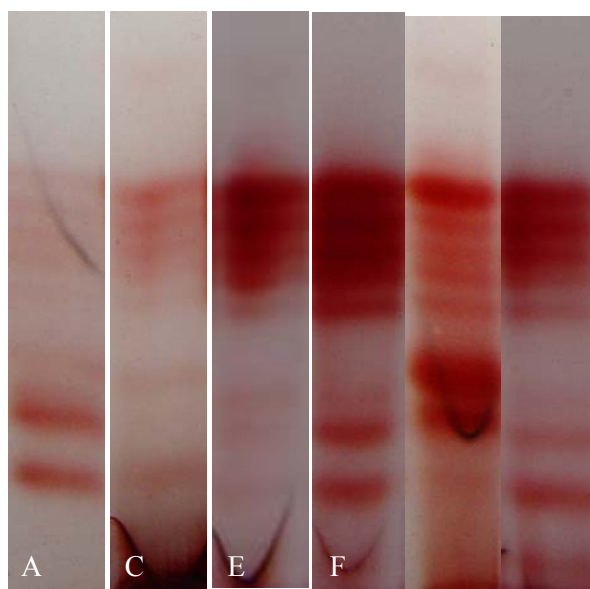
جدول ۵- ضریب‌های رتبه‌بندی Spearman برای باندهای پراکسیداز

آغازگر	باندهای پراکسیداز	ضریب رتبه‌بندی Spearman	آغازگر	باندهای پراکسیداز	ضریب رتبه‌بندی Spearman
037/-0	PEB2	EMBRA06	037/-0	PEB2	EMCRC09
037/-0	PTB5	EMBRA06	1	PTB5	EMCRC09
037/-0	PTB4	EMBRA06	1	PTB4	EMCRC09
-	PTB3	EMBRA06	-	PTB3	EMCRC09
0/4714	PTB2	EMBRA06	0/4714	PTB2	EMCRC09
0/3333	PTB1	EMBRA06	0/3333	PTB1	EMCRC09
0/5556	PDB3	EMBRA06	0667/-0	PDB3	EMCRC09
0/1667	PDB2	EMBRA06	0/1667	PDB2	EMCRC09
0/3333	PDB1	EMBRA06	1111/-0	PDB1	EMCRC09
1111/-0	PEB1	EMBRA06	1111/-0	PEB1	EMCRC09

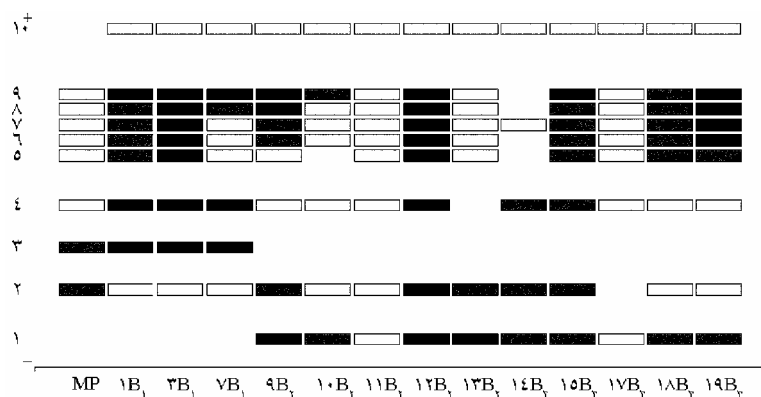
(Band :B ,Epigenetic :E ,Tetramer :T ,Dimer :D ,Peroxidase :P)



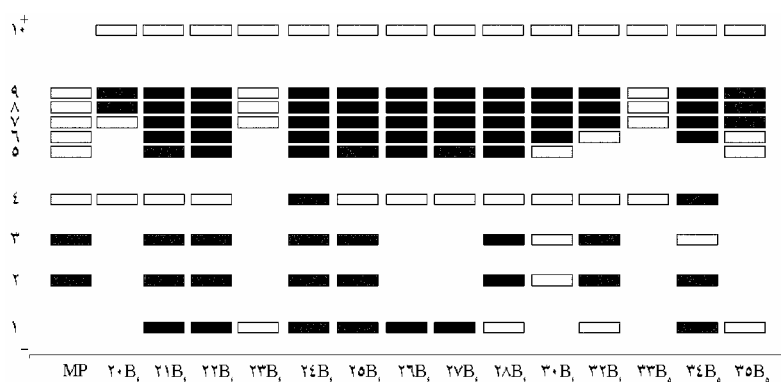
شکل ۱- تیپ‌های مختلف باززایی در کشت درون شیشه *E. microtheca* (A: باززایی مستقیم در تیمار B₁, B: وجود کالوس‌های جنین‌زا در تیمار B_۳, C: باززایی غیرمستقیم در تیمار B_۳).



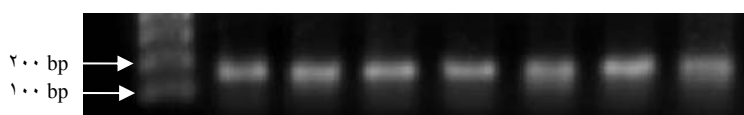
شکل ۲. باندهای پراکسیداز حاصل از گیاهچه‌های سوماکلون (A: گیاه مادر دارای دو مکان ژنی دیمر و تترامر، B: فعالیت آلل‌ها در تیمار B_۱ و ظاهر شدن باند جدید در محدوده مولکول‌های سبک، C: فعالیت آلل‌های حاصل از تیمار B_۲ و B_۳ همراه با حذف آلل هتروزیگوت از مکان ژنی دیمر و ظاهر شدن یک باند جدید دیگر در محدوده مولکول‌های سنگین، D: نمایان شدن مجدد آلل هتروزیگوت در تیمار B_۴، E: کاهش فعالیت مکان ژنی دیمر در B_۴، F: فعالیت شدید هر دو مکان ژنی در تیمارهای B_۴ و B_۵ (+ و - به ترتیب محدوده مولکول‌های سبک و سنگین می‌باشند)).



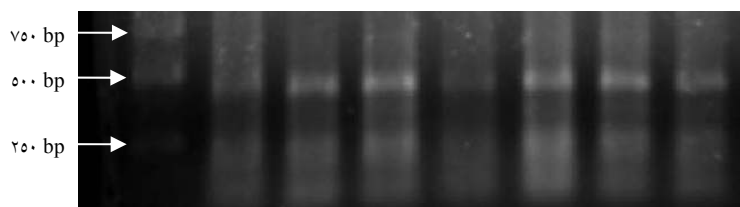
زموگرام ۱. الگوی باندهای پراکسیداز برای ۱۳ گیاهچه سوماکلون *E. microtheca* بوسیله تیمارهای B_۱, B_۲ و B_۳ + و - به ترتیب محدوده مولکول‌های سبک و سنگین می‌باشند (چاهک اول گیاه مادر است).



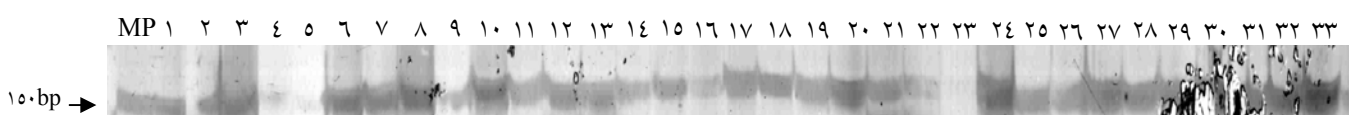
زیموگرام ۲- الگوی باندهای پراکسیداز برای ۱۴ گیاهچه سوماکلون *E. microtheca* بواسیله تیمارهای B_4 و B_5 + به ترتیب محدوده مولکولهای سبک و سنگین می‌باشند (چاهک اول گیاه مادر است).



شکل ۳- باندهای SSR مشاهده شده ۷ گیاهچه سوماکلون *E. microtheca* توسط پرایمر EMBRA06 بر روی ژل آگارز (چاهک اول Size marker می‌باشد).



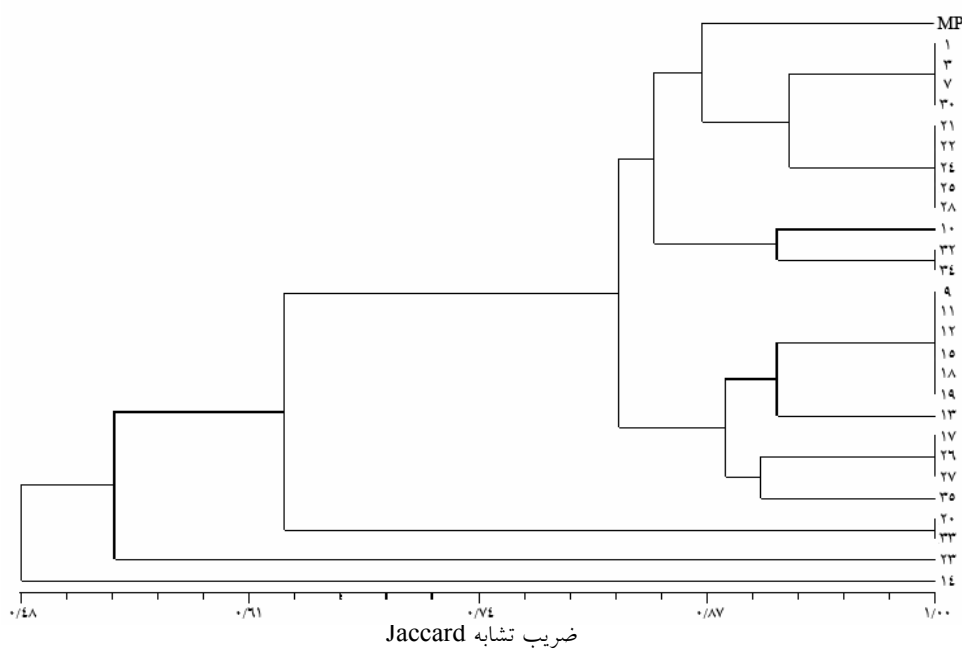
شکل ۴- باندهای SSR مشاهده شده ۷ گیاهچه سوماکلون *E. microtheca* توسط پرایمر EMCRC09 بر روی ژل آگارز (چاهک اول Size marker می‌باشد).



شکل ۵- باندهای SSR پرایمر EMBRA06 بر روی ژل واسرشنطه آکریلامید ۶٪ برای ۳۳ گیاهچه سوماکلون *E. microtheca* (چاهک اول گیاه مادر است).



شکل ۶- باندهای SSR پرایمر EMCRC09 بر روی ژل واسرشنطه آکریلامید ۶٪ برای ۳۳ گیاهچه سوماکلون *E. microtheca* (چاهک اول گیاه مادر است).



شکل ۷- دندروگرام بدست آمده از تجزیه خوشه‌ای به روش UPGMA، براساس ضریب تشابه Jaccard حاصل از مشاهده باندهای پراکسیداز و SSR برای ۲۷ گیاهچه سوماکلون *E. microtheca* (MP گیاه مادر می‌باشد).

تحت تأثیر TDZ توانایی *E. microtheca*

بحث

بالایی در تحریک، سنتز و تجمع و تعديل دیگر سیتوکنین‌های درونزاد دارد (Visser *et al.*, 1992). در باززایی مستقیم ریزنمونه‌های کوتیلدونی صنوبر سفید به‌وسیله هورمون TDZ میزان فعالیت پراکسیداز کاهش می‌یابد (Tang & Newton, 2005). این نتایج با یافته‌های این پژوهش کاملاً مطابقت و همسویی دارد، زیرا از فعالیت آلل‌ها کاسته شده و آلل ۳ نیز ناپدید شده است. همچنین با ورود به مرحله جنین‌زایی سوماتیکی که ارتباط بین جنین‌ها و کالوس به‌طور کامل از بین می‌رود، میزان پراکسیداز نیز به شدت کاهش یافت، اما اختلاف قابل ملاحظه‌ای بین B_4 و B_6 که باززایی غیرمستقیم در آنها دیده شد وجود نداشت. بنابراین با افزایش مقدار سیتوکنین (TDZ)، مقدار فعالیت پراکسیداز افزایش یافت.

هورمون‌های NAA و Kin (هر کدام به مقدار ۱ میلی‌گرم در لیتر) باززایی مستقیم را تحریک کرده و ریزنمونه‌های سرشاخه بدون ورود به مرحله کالزایی باززا می‌شوند. با اضافه کردن هورمون TDZ به مقدار ۱/۰۰۱ میلی‌گرم در لیتر به تیمار B_2 حجم کالوس اندکی افزایش یافته و باززایی به صورت جنین‌زایی سوماتیکی می‌باشد. به بیانی اثر NAA و Kin بر TDZ در مقادیر بسیار کم چیرگی دارد. در تیمار B_3 که حاوی ۰/۱ میلی‌گرم در لیتر TDZ است، باززایی از نوع جنین‌زایی سوماتیکی به بیشترین مقدار خود (۵۲٪) می‌رسد. در مقادیر ۰/۵ و ۱ میلی‌گرم در لیتر TDZ کالوس‌ها متراکم و سخت شده، مقدار باززایی کاهش یافته و باززایی غیرمستقیم تحریک می‌گردد. نتایج نشان می‌دهند که انواع باززایی در

از سنتز یک بازدارنده برای پرومومتر پراکسیداز (Klotz & Larkin, 1997) و یا جهش باشد (Lagrimini, 1997). وجود همبستگی پایین میان ماتریس ضریب‌های تشابه ایزوآنزیم پراکسیداز و میکروستلایت‌ها (Scowcroft, 1981) به واسطه استفاده از آزمون Mental (r=0/18) تشابه زیادی با نتایج Sun و همکاران، (1997) دارد. دلیل این عدم وجود همبستگی می‌تواند قرار گرفتن مکان‌های ژنی میکروستلایت در قسمت‌های Nonfunctional توالی‌های دی.ان.ای باشد (Naghavi *et al.*, 2005). بنابراین نظریه Klotz و Lagrimini (1997) مبنی بر اثر فیتوهورمون‌ها در کنترل پرومومتر پراکسیداز می‌تواند صحیح باشد.

نتایج حاصل از تجزیه خوش‌های به روش UPGMA نشان‌دهنده بیشترین فاصله ژنتیکی میان ژنوتیپ‌های ۱۴ و ۲۳ با گیاهچه مادر می‌باشد. دلیل این تنوع را می‌توان به عدم مشاهده ۵ آلل پراکسیداز و باندهای تولید شده توسط آغازگرهای EMCRC09 و EMBRA06 برای گیاهچه ۱۴ و ۲۳ نسبت داد. برای گیاهچه‌های ۲۰ و ۳۳ که در خوش سوم قرار گرفته‌اند هیچ چندشکلی در نواحی SSR وجود ندارد ولی این دو ژنوتیپ از لحاظ تنوع در آلل‌های پراکسیداز کاملاً مشابه یکدیگر می‌باشند، بنابراین می‌توان علت فاصله کم ژنتیکی این دو نمونه را تنوع آنزیمی دانست. به طوری که سایر گیاهچه‌ها به همراه گیاه مادری در خوش چهارم قرار گرفته‌اند ولی نکته قابل توجه در این خوش فاصله کم ژنتیکی میان نمونه‌های ۱، ۳ و ۷ با گیاه مادر می‌باشد، زیرا که برای بازیابی این نمونه‌ها از هورمون TDZ استفاده نشده است، بنابراین این تشابه به علت عدم وجود باند شماره ۱ است که معرف حضور هورمون TDZ در بازیابی این گیاهچه‌ها می‌باشد.

این دلیلی آشکار جهت تأیید خصوصیت تعديل‌کنندگی TDZ برای تیپ‌های متفاوت بازیابی می‌باشد (Visser *et al.*, 1992). براساس یافته‌های این بررسی، با افزایش مقدار هورمون TDZ فعالیت پراکسیداز در انواع بازیابی افزایش می‌یابد، ولی در نتیجه‌گیری کلی به نظر می‌رسد تغییر فعالیت پراکسیداز نشانگری برای نوع بازیابی باشد. از تغییر فعالیت پراکسیداز در اندام‌زایی و جنین‌زایی سوماتیکی به عنوان نشانگر یاد شده است (Xiaoli *et al.*, 1992 و Preetha *et al.*, 1995) با استفاده از هورمون‌های NAA و Kin یک باند اپی‌ژنتیک (PEB2) در تمامی بازیابی‌ها ظاهر می‌گردد. همچنین گیاهچه‌های متأثر از هورمون TDZ باند اپی‌ژنتیک دیگری (PDB2) را به وجود می‌آورند. توالی‌های SSR اثر معنی‌داری بر روی این دو باند نداشته (جدول ۴) و کمترین ضریب رتبه‌بندی میان این دو باند و مارکر مولکولی وجود دارد (جدول ۵). بیشترین ضریب برای آغازگر EMBRA06 با آلل PDB3 از مکان ژنی دیمر به مقدار r=0/۵۶ وجود دارد که نشان‌دهنده تأثیر نسبی توالی تکثیر شده به وسیله این آغازگر بر روی سنتز پراکسیداز می‌باشد. ولی توالی آغازگر EMCRC09 تأثیر معنی‌داری بر روی آلل‌های PTB5 و PTB4 داشته (جدول ۴) و برای آنها ضریب کامل وجود دارد (جدول ۵). بنابراین TDZ بر روی این توالی تأثیر گذاشته و آلل‌های یک مکان ژنی تترامر را متأثر ساخته است.

به طور کلی در تیمارهای B₂ و B₃ از فعالیت همه آلل‌ها کاسته شده و آلل PDB2 در تمامی گیاهچه‌ها ناپدید شده است. بنابراین می‌توان گفت TDZ در مقادیر ۰/۰۱ و ۰/۱ میلی‌گرم در لیتر موجب عدم فعالیت یک آلل هتروزیگوت از یک مکان ژنی دیمر می‌گردد. این پدیده می‌تواند ناشی

- Ebermann, R. and Stich, K. 1982. Peroxidase and amylase isoenzymes in the sapwood and heartwood of trees. *Phytochemistry*, 21:2401-2402.
- Ezaki, B., Tsugua, S. and Matsumoto, H. 1996. Expression of moderately anionic peroxidase is induced by aluminum treatment in *Tobacco* cells: possible involvement of peroxidase isozymes in aluminium ion stress. *Physiologia Plantarum*, 96: 21-28.
- Fry, S.C. 1979. Phenolic components of the primary cell wall and their possible role in the hormonal regulation of growth. *Planta*, 146: 343-351.
- Ghamari-Zare, A., Asareh, M.H. Ghorbanli, M. Shahrzad, Sh. Allahverdi Mamaghani B. 2006. *In vitro* culture of two Damask rose genotypes from East and West Azarbayjan provinces. *Iranian Journal of Rangelands and Forests Plant Breeding and Genetic Research*, 14: 155-162.
- Herve, P., Jauneau, A., Paques, M., Marien, J.N., Michel Boudet, A. and Teulieres, C. 2001. A procedure for shoot organogenesis *in vitro* from leaves and nodes of an elite *Eucalyptus gunnii* clone: comparative histology. *Plant Science*, 161: 645-653.
- Kinoshita, T. and Ishikawa, R. 2003. Genetical studies of isoenzymes in rice plants. II - Description of individual isozyme markers and several isozyme genes related to starch synthesis in rice. *Recent Research Developments in Genetics*, 3: 112-117.
- Klotz, K.L. and Lagrimini, L.M. 1996. Phytohormone control of the tobacco anionic peroxidase promoter. *Plant Molecular Biology*, 31:565-573.
- Kormutak, A., Salaj, T., Matusova, R. and Vookova, B. 2003. Biochemistry of zygotic and somatic embryogenesis in silver fir (*Abies alba* mill.). *ACTA Biologica Cracoviensia Series Botanica*, 45: 59-62.
- Lanner-Herrera, C., Gustafsson, M., Falt, A.-S. and Bryngelsson, T. 1996. Diversity in natural populations of wild *Brassica oleracea* as estimated by isozyme and RAPD analysis. *Genetic Resources and Crop Evolution*, 43: 13-23.
- Larkin, P.J. and Scowcroft, W.R. 1981. Somaclonal variation – A novel source of variability from cell cultures for plant improvement. *Theoretical and Applied Genetics*, 60:197-214.
- Liu, Z. and Furnier, G.R. 1993. Comparison of allozyme, RFLP, and RAPD markers for revealing genetic variation within and between trembling aspen and bigtooth aspen. *Theoretical and Applied Genetics*, 87: 97-105.
- Morabito, D., Mills, D., Prat, D. and Dizengremel, P. 1996. Response of clones of *Eucalyptus microtheca* to NaCl *in vitro*. *Tree Physiology*, 14: 201-210.
- Mortazavi-Jahromi, S.M. 1994. Introducing Adapted *Eucalyptus* in West Areas of Fars Provience. *Forests*

در مجموع می‌توان گفت وجود هورمون TDZ در بازیابی گیاهچه‌های *E. microtheca* باعث ایجاد چندشکلی در بیان آنزیم آلل‌های پراکسیداز و توالی‌های SSR می‌گردد. همچنین ارتباط میان توالی‌های SSR و ستر پراکسیداز کم می‌باشد، هر چند رابطه میکروستلاتیت‌ها با مکان ژنی تترامر پراکسیداز بیشتر از مکان ژنی دیمر است. همچنین آلل‌های مکان ژنی تترامر تحت تأثیر TDZ، پایداری بیشتری نسبت به مکان ژنی دیمر دارند و نقش بیشتری در ستر پراکسیداز ایفا می‌کنند.

سپاسگزاری

به این وسیله از استادان ارجمند جناب آقای دکتر محمدرضا بی‌همتا و دکتر محمدرضا نقوی که در تجزی و تحلیل‌های آماری همکاری داشتند، قدردانی به عمل می‌آید.

منابع مورد استفاده

- Assareh, M. H., and Sardabi, H., 2007. *Eucalypts*, V:I, Description, Illustration and Propagation by Advanced Techniques. Forests and Rangelands Research Institute, Tehran, Iran, 672 p.
- Brondani, R.P.V., Brondani, C., Tarchini, R. and Grattapaglia, D. 1998. Development, characterization and mapping of microsatellite markers in *Eucalyptus grandis* and *E. urophylla*. *Theoretical and Applied Genetics*, 97: 816-827.
- Byrne, M., Marquez-Garcia, M.I., Uren, T., Smith, D.S. and Moran, G.F. 1996. Conservation and genetic diversity of microsatellite loci in the genus *Eucalyptus*. *Australian Journal of Botany*, 44:331-341.
- Castillo, F.J. 1986. Extra cellular peroxidase as markers of stress? In: H. Greppin, C. Penel, and T. Gaspar (eds.). *Molecular and Physiological Aspects of Plant Peroxidases*. University of Geneva, Geneva, pp. 419-426.
- Doyle, J.J. and J.L. Doyle. 1987. Isolation of plant DNA from fresh tissue. *Focus*, 12: 13-15.

- Shah, J., Kachroo, P. and Klessig, D.F. 1999. The *Arabidopsis ssi1* mutation restores pathogenesis-related gene expression in *npr1* plants and renders defensin gene expression salicylic acid dependent. *The Plant Cell*, 11: 191–206.
- Steane, D.A., Vaillancourt, R. E., Russell, J., Powell, W., Marshall, D. and Potts, B.M. 2001. Development and characteristion of microsatellite loci in *Eucalyptus globulus* (Myrtaceae). *Silvae Genetica*, 50: 2, 89-91.
- Sun, G.L., Salomon, B. and von Bothmer, R. 1997. Analysis of tetraploid *Elymus* species using wheat microsatellite markers and RAPD markers. *Genome*, 40: 806–814.
- Sun, G.L., Salomon, B. and von Bothmer, R. 1998. Characterization and analysis of microsatellite loci in *Elymus caninus* (Triticeae). *Theoretical and Applied Genetics*, 96: 676–682.
- Tang, W. and Newton, R.J. 2005. Peroxidase and catalase activities are involved in direct adventitious shoot formation induced by thidiazuron in eastern white pine (*Pinus strobus* L.) zygotic embryos. *Plant Physiology and Biochemistry*, 43: 760-769.
- Visser, C., Qureshi, J. A., Gill, R. and Saxena, P.K. 1992. Morphoregulatory role of thidiazuron, substitution of auxin and cytokinin requirement for the induction of somatic embryogenesis in *Geranium* hypocotyl cultures. *Plant Physiology*, 99: 1704-1707.
- Watt, M.P., Blakeway, F.C., Termignoni, R. and Jain, S.M. 1999. Somatic embryogenesis in *Eucalyptus grandis* and *E. dunni*. In: Jain, S.M., Gupta, P.K. and Newton, R.J. (eds). *Somatic embryogenesis in woody plants*, Kluwer, UK, 5:63-78.
- Xiaoli, Z., Yang, H., Wenjie, Yang. and Ti, X. 1992. Somatic embryogenesis and analysis of peroxidase in cultured lettuce (*Lactuca Sativa* L.) cotyledons. *Annals of Botany*, 69: 97-100.
- and Rangelands Research Institute, Tehran, Iran, 83 p.
- Murashige, T. and Skoog, F. 1962. Revised medium for rapid growth and bioassay with *Tobacco* tissue culture. *Physiologia Plantarum*, 15: 473-479.
- Naghavi, M.R. , Gharayazi, B. and Hosseini-Salakdeh, Gh., 2005. Molecular Markers. Tehran University Publisher, Tehran Iran., 320 p.
- Pinto, G., Santos, C., Neves, L. and Araujo, C. 2002. Somatic embryogenesis and plant regeneration in *Eucalyptus globulus* labill. *Plant Cell Reports*, 21:208-213.
- Powell, W., Morgante, M., Andre, C., Hanafey, M., Vogel, J., Tingey, S. and Rafalski, A. 1996. The comparison of RFLP, RAPD, AFLP and SSR (microsatellite) markers for germplasm analysis. *Molecular Breeding*, 2: 225–238.
- Preetha, N., Yasodha, R. and Gurumurthi, K. 1995. Peroxidase isoenzymes as markers of organogenesis in *Azadirachta indica* Juss. *Indian Journal of Plant Physiology*, 38: 92–93.
- Rus-Kortekaas, W., Smulders, M.J.M., Arens, P. and Vosman, B. 1994. Direct comparison of levels of genetic variation in tomato detected by a GACA-containing microsatellite probe and by random amplified polymorphic DNA. *Genome*, 37: 375–381.
- Russell, J.R., Fuller, J.D., Macaulay, M., Hatz, B.G.B., Jahooor, A., Powell, W. and Waugh, R. 1997. Direct comparison of levels of genetic variation among barley accessions detected by RFLPs, AFLPs, SSRs and RAPDs. *Theoretical and Applied Genetics*, 95: 714–722.
- Saghai-Maroof, M.A., Biyashev, R.M., Yang, G.P., Zhang, Q. and Allard, R.W. 1994. Extraordinarily polymorphic microsatellite DNA in barley: Species diversity, chromosomal location and population dynamics. *Proceedings of the National Academy of Sciences of the United States of America*, 91: 5466–5470.
- Sankara Rao, K. 1988. *In vitro* meristem cloning of *Eucalyptus tereticornis* Sm. *Plant Cell Reports*, 7:546-549.
- Shabannejad, M. Assareh, M.H. Omidi, M, Ghamari Zare A., Shahrzad SH., 2008. Comparison of direct and indirect regeneration in *Eucalyptus microtheca*. *Iranian Journal of Rangelands and Forests Plant Breeding and Genetic Research*, 16: 229-237.

Identification of somaclonal variation using peroxidase and microsatellite markers in *Eucalyptus microtheca* F. Muell

M. Shabannejad Mamaghani^{*1}, M.H. Assareh², M. Omidi³, M. Matinizadeh⁴, M. Forootan⁵, A. Ghamari Zare⁶, SH. Shahrzad⁷ and M. Jebelli⁸

1 – Corresponding author, M.Sc., Islamic Azad University of Karaj, I.R.Iran
E-mail address: shabannejad.morteza@gmail.com

2 – Prof., Forests and Rangelands Research Institute, Tehran, I.R.Iran

3 – Prof., Faculty of Agriculture, Tehran University, Karaj, I.R.Iran

4 – Assis. Prof., Forests and Rangelands Research Institute, Tehran, I.R.Iran

5 – Ph.D, Forests and Rangelands Research Institute, Tehran, I.R.Iran

6 – Assis. Prof., Forests and Rangelands Research Institute, Tehran, I.R.Iran

7 – B.Sc., Forests and Rangelands Research Institute, Tehran, I.R.Iran

8 – M.Sc., Forests and Rangelands Research Institute, Tehran, I.R.Iran

Received: 23.04.2009

Accepted: 02.06.2009

Abstract

The objectives of this study were to induce somaclonal variation and linked investigation of biochemical and molecular markers in *Eucalyptus microtheca* under *in vitro* culture. Explants derived from twigs obtained from of *E. microtheca* one year-old seedling were cultured on modified MS medium (without half-strength KNO₃ and NH₄NO₃), supplemented with different concentrations of NAA, Kin and TDZ hormones. Peroxidase patterns were studied among regenerated plantlets to investigate possible effects of TDZ concentrations on peroxidase activity. A dimer locus, a tetramer locus and two epigenetic bands were observed. Genome variation among somaclonal plantlets were investigated using microsatellite markers. Two SSR markers revealed polymorphism among the studied populations. Nonparametric statistical analysis showed significant effect of SSRs loci on peroxidase alleles. Results showed less stability of dimer locus in different concentrations of TDZ in comparison of the tetramer locus. Moreover, there was stronger correlation between tetramer locus alleles and simple sequence repeats than dimer ones.

Key words: Tissue culture, Somaclonal variation, Peroxidase, Simple Sequence Repeat, *Eucalyptus microtheca*